

助熔剂法制备的 $\text{LaMgAl}_{11}\text{O}_{19}:\text{Eu}^{n+}$ ($n=2,3$) 的发光特性

徐进章 张志华 王育华*

(兰州大学物理科学与技术学院功能与环境材料研究所, 兰州 730000)

关键词: 助熔剂; UV/VUV; $\text{LaMgAl}_{11}\text{O}_{19}:\text{Eu}^{n+}$ ($n=2,3$); 荧光粉

中图分类号: O614.31; O614.51; O482.31 文献标识码: A 文章编号: 1001-4861(2006)05-0913-04

Photoluminescence of $\text{LaMgAl}_{11}\text{O}_{19}:\text{Eu}^{n+}$ ($n=2,3$) Phosphor Synthesized by Flux Method

XU Jin-Zhang ZHANG Zhi-Hua WANG Yu-Hua*

(Department of materials science, School of Physical Science and Technology, Lanzhou University, Lanzhou 730000)

Abstract: $\text{LaMgAl}_{11}\text{O}_{19}:\text{Eu}^{n+}$ ($n=2,3$) was synthesized by solid state reaction using H_3BO_3 as a flux at 1 400 °C for 4 hours. And their luminescent properties were investigated under UV and VUV excitation. Strong pure blue emission due to $d-f$ transition of Eu^{2+} was observed in $\text{LaMgAl}_{11}\text{O}_{19}:\text{Eu}^{2+}$ both in 254 nm and 147 nm excitation. At the same time, red emission due to $^5D_0 \rightarrow ^7F_J$ ($J=0, 1, 2, 3, 4$) transition of Eu^{3+} also observed in $\text{LaMgAl}_{11}\text{O}_{19}:\text{Eu}^{3+}$. The dependence of emission intensity of blue/red emission on $\text{Eu}^{2+}/\text{Eu}^{3+}$ -content was evaluated. The result indicated that the blue emission intensity was arrived optimum when Eu^{2+} -content was $0.10 \text{ mol} \cdot \text{mol}^{-1}$ under both UV and VUV excitation while red emission intensity reached optimum when Eu^{3+} -content was $0.125 \text{ mol} \cdot \text{mol}^{-1}$ under UV excitation. This suggests that $\text{LaMgAl}_{11}\text{O}_{19}:\text{Eu}^{2+}$ phosphors could be potential blue phosphor for the application in PDP.

Key words: flux; UV/VUV; $\text{LaMgAl}_{11}\text{O}_{19}:\text{Eu}^{n+}$ ($n=2,3$); phosphor

0 引言

在等离子体平板显示(PDP)材料中, 常用红粉(Y, Gd) $\text{BO}_3:\text{Eu}^{3+}$ 和蓝粉 $\text{BaMgAl}_{10}\text{O}_{17}:\text{Eu}^{2+}$ 都存在各自的不足之处, 如红粉的色纯度较差, 蓝粉热稳定性不够等, 使其应用受到很大限制^[1]。为了寻找新的有效发光材料, 故选择了畸变磁铅矿结构的 $\text{LaMgAl}_{11}\text{O}_{19}$ 。 $\text{LaMgAl}_{11}\text{O}_{19}$ 系六方晶系的畸变磁铅矿结构, 由镜面层和尖晶石层两部分组成。 $\text{LaMgAl}_{11}\text{O}_{19}$ 具有其独特的优点,(1) Eu^{3+} 、 Tb^{3+} 和 Eu^{2+} 均可取代镜面上 La 离子位置, 分别形成红色、绿色和蓝色发光;(2) Mn 将取

代 $\text{Al}-\text{O}$ 四面体中心位置的 Mg , 形成 520 nm 左右的绿色发光;同时研究稀土掺杂的 $\text{LaMgAl}_{11}\text{O}_{19}$ 的光谱可以深入了解激活离子的高能激发态、基质能带结构以及基质与激活离子间的能量传递问题, 为新型高效等离子荧光体的设计与合成提供重要的理论指导^[1]。

以 $\text{LaMgAl}_{11}\text{O}_{19}$ 为基质的发光性质的研究主要集中在紫外区, 真空紫外激发下 $\text{LaMgAl}_{11}\text{O}_{19}$ 的发光性质很少报道^[1,2]。文献^[1]仅仅给出了 VUV 激发下一个特定掺杂浓度时 $\text{LaMgAl}_{11}\text{O}_{19}:\text{Re}$ ($\text{Re}=\text{Tb}, \text{Mn}$) 的发光特性。为了开发新型 PDP 用发光材料, 本工作研

收稿日期: 2005-10-31。收修改稿日期: 2006-03-01。

国家科技部 863 计划(No.2003AA324020), 国家自然基金(No.50272026), 教育部优秀教师资助计划(No.2002 年)资助项目。

*通讯联系人。E-mail: wyh@lzu.edu.cn; Tel: (0931)8912772, Fax: (0931)8913554

第一作者: 徐进章, 男, 52 岁, 教授; 研究方向: VUV 发光研究。

究了紫外光、真空紫外光激发下 $\text{LaMgAl}_{11}\text{O}_{19}:\text{Eu}$ 在各自价态下的发光特性及其随 Eu 掺杂浓度的关系。

1 实验部分

样品的制备采用高温固相反应法, 按化学计量比值精确称取相应量的氧化铝(99.99%)、氧化镧(99.95%)、氧化铕(99.99%)、氧化镁(分析纯), 加入质量分数为 12.5% 的 H_3BO_3 作助熔剂, 在玛瑙研钵中充分混合后放入氧化铝坩埚中, 在高温管式还原气氛($95\% \text{ N}_2 + 5\% \text{ H}_2$)炉内于 1400°C 保温 4 h, 取出后研碎, 得到 $\text{LaMgAl}_{11}\text{O}_{19}:\text{Eu}^{2+}$ 的荧光粉; 直接在高温炉内保温 4 h, 取出后研碎, 得到 $\text{LaMgAl}_{11}\text{O}_{19}:\text{Eu}^{3+}$ 的荧光粉。

采用 Rigaku D/max-2400 型 X 射线粉末衍射仪测定样品的物相, 其中 $\text{Cu K}\alpha$ 射线, 为 $\lambda=0.154\,056\text{ nm}$ 。样品的激发和发射光谱用 FLS920T 型光谱仪和 VM504 真空紫外单色仪测试, 狹缝宽度 1 nm, 扫描速度 $240\text{ nm}\cdot\text{min}^{-1}$, 真空紫外下激发光谱用水杨酸钠进行标定。样品所有的测试均在室温下进行。

2 结果与讨论

2.1 $\text{LaMgAl}_{11}\text{O}_{19}$ 的物相分析

$\text{LaMgAl}_{11}\text{O}_{19}$ 的助熔剂法制备详见文献^[3], 实验以质量分数为 12.5% 的 H_3BO_3 作助熔剂于 1400°C 保温 4 h 获得 $\text{LaMgAl}_{11}\text{O}_{19}$ 的最佳单相结构。

以 12.5% 的 H_3BO_3 作助熔剂于 1400°C 保温 4 h 制备出 $\text{LaMgAl}_{11}\text{O}_{19}:\text{Eu}^{n+}(n=2,3)$ 系列样品的 X 射线衍射图基本一致。如图 1 中 a 表示样品 Eu³⁺ 的掺杂浓度为 $0.125\text{ mol}\cdot\text{mol}^{-1}$, b 表示 Eu²⁺ 的掺杂浓度为 $0.100\text{ mol}\cdot\text{mol}^{-1}$, 其晶面指数与 JCPDF 标准卡(260873)符合的很好, 表明制备的样品都是单相结构。

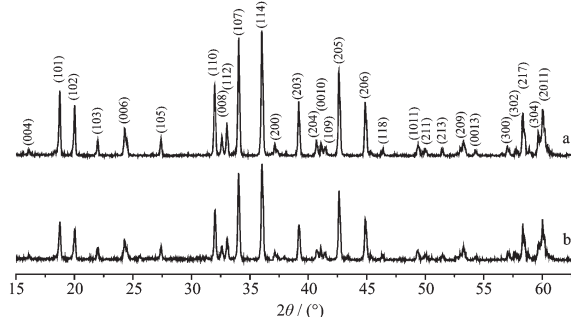


图 1 $\text{LaMgAl}_{11}\text{O}_{19}:\text{Eu}^{n+}(n=2,3)$ 样品的 X 射线衍射图

Fig.1 XRD patterns of $\text{LaMgAl}_{11}\text{O}_{19}:\text{Eu}^{n+}(n=2,3)$

$\text{La}_{1-x}\text{MgAl}_{11}\text{O}_{19}:x\text{Eu}^{3+}(0 \leq x \leq 0.15)$ 系列样品晶胞参数 a 值和 c 值随着 Eu³⁺掺杂浓度的增加, 均呈现逐渐减小的趋势。表明 Eu³⁺的掺入确实取代了镜面上 12 配位的大阳离子 La³⁺位置, 这是由于 Eu³⁺半径(95 pm)略小于 La³⁺半径(106 pm), 所以在 Eu³⁺取代了 La³⁺位置后各晶胞参数以及体积才呈现减小的趋势。而 $\text{La}_{1-x}\text{MgAl}_{11}\text{O}_{19}:x\text{Eu}^{2+}(0 \leq x \leq 0.15)$ 系列样品的晶胞参数 a 值和 c 值随 Eu²⁺掺杂浓度的增加呈现增大趋势, 这是因为 Eu²⁺半径(117 pm)比 La³⁺半径稍大的缘故。

2.2 $\text{LaMgAl}_{11}\text{O}_{19}:\text{Eu}^{3+}$ 的发光特性

$\text{La}_{1-x}\text{MgAl}_{11}\text{O}_{19}:x\text{Eu}^{3+}(0 \leq x \leq 0.15)$ 的紫外激发光谱完全一致, 均由 1 个宽带吸收峰和 1 个小尖峰组成。如图 2a 所示为 610 nm 监控在 254 nm 激发下 $\text{La}_{0.875}\text{MgAl}_{11}\text{O}_{19}:0.125\text{Eu}^{3+}$ 的激发光谱。由图可见, 其激发光谱由两部分组成, 峰值位于 304 nm 强的宽带吸收, 归属于 $\text{Eu}^{3+} \rightarrow \text{O}^2-$ 的电荷迁移带吸收; 峰值在 393 nm 的小尖峰归属于 Eu^{3+} 的 $4f \sim 4f$ 跃迁吸收^[3]。

254 nm 激发下 $\text{La}_{1-x}\text{MgAl}_{11}\text{O}_{19}:x\text{Eu}^{3+}(0 \leq x \leq 0.15)$ 的发射光谱一致, 均由 Eu³⁺的特征发射构成。如图 2b 所示为 $\text{La}_{0.875}\text{MgAl}_{11}\text{O}_{19}:0.125\text{Eu}^{3+}$ 的发射光谱, 由图可见, 其一系列发射峰分别在 577 nm、585 nm、596 nm、610 nm、617 nm、624 nm、646 nm、650 nm

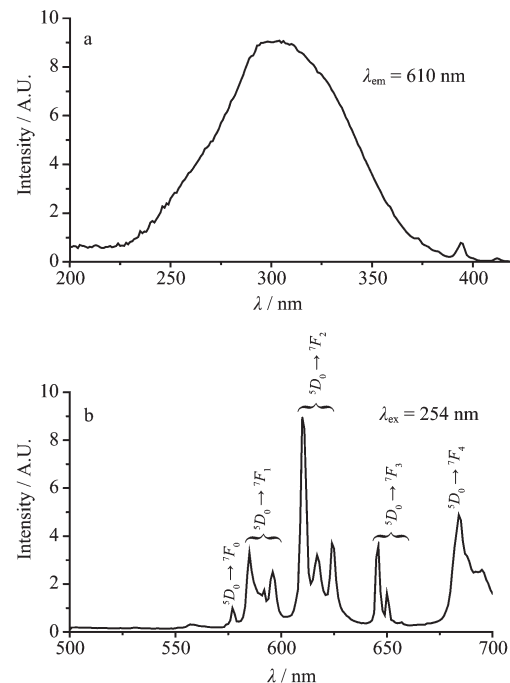


图 2 $\text{La}_{0.875}\text{Eu}_{0.125}\text{MgAl}_{11}\text{O}_{19}$ 的激发(a)和发射(b)光谱

Fig.2 (a) Excitation, (b) emission spectra of

$\text{La}_{0.875}\text{MgAl}_{11}\text{O}_{19}:0.125\text{Eu}^{3+}$

和684 nm,归属于 Eu^{3+} 的 ${}^5D_0 \rightarrow {}^7F_J$ ($J=0,1,2,3,4$)跃迁发光^[4]。主峰在610 nm,表明是很好的红光。

$\text{La}_{1-x}\text{Eu}_x\text{MgAl}_{11}\text{O}_{19}$ ($0 \leq x \leq 0.15$)在610 nm主峰的相对发光强度如图3所示。由图可见,随着 Eu^{3+} 浓度的增加, $\text{LaMgAl}_{11}\text{O}_{19}:\text{Eu}^{3+}$ 的发光强度逐渐增强,掺杂量为0.125 mol·mol⁻¹时,发光达到最强,之后随 Eu^{3+} 掺杂量的增加发光强度开始降低。这是因为随着 Eu^{3+} 掺杂浓度的增加,晶体结构中的发光中心增多,发光增强;但是达到一定浓度之后,随 Eu^{3+} 掺杂浓度的继续增加,发光中心与发光中心之间距离达到一定程度时,能量只能以非辐射形式在离子间传递,形成浓度猝灭,因此发光强度反而降低。

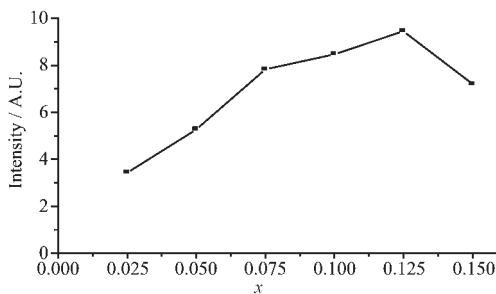


图3 $\text{LaMgAl}_{11}\text{O}_{19}:\text{Eu}^{3+}$ 在610 nm发光强度与 Eu^{3+} 浓度关系

Fig.3 Relative emission intensity of $\text{LaMgAl}_{11}\text{O}_{19}:\text{Eu}^{3+}$ vs Eu^{3+} content ($\lambda_{\text{ex}}=254 \text{ nm}$, $\lambda_{\text{em}}=610 \text{ nm}$)

147 nm激发下 $\text{LaMgAl}_{11}\text{O}_{19}:\text{Eu}^{3+}$ 的发光仍然是一系列归属于 Eu^{3+} 的 ${}^5D_0 \rightarrow {}^7F_J$ ($J=0,1,2,3,4$)的跃迁发光,主峰在610 nm,但强度变得很弱,具体原因有待进一步研究。

2.3 $\text{LaMgAl}_{11}\text{O}_{19}:\text{Eu}^{2+}$ 的发光特性

254 nm激发下 $\text{La}_{1-x}\text{MgAl}_{11}\text{O}_{19}:x\text{Eu}^{2+}$ ($0 \leq x \leq 0.15$)的激发光谱一致,均由两个强度相当的激发吸收组成。254 nm光激发下, $\text{LaMgAl}_{11}\text{O}_{19}:\text{Eu}^{2+}$ 的发射光谱由1个峰值在454 nm的宽带峰构成。如图4所示是 $\text{La}_{0.90}\text{MgAl}_{11}\text{O}_{19}:0.10\text{Eu}^{2+}$ 的紫外激发和发射光谱,由图可见,454 nm监控下其激发光谱是由 Eu^{2+} 的晶体场劈裂形成的2个f-d跃迁吸收组成,峰值分别在263 nm和294 nm;发射光谱由1个蓝色宽带峰构成,峰值在454 nm,归属于 Eu^{2+} 的d-f特征发射^[5]。

147 nm激发下 $\text{La}_{1-x}\text{MgAl}_{11}\text{O}_{19}:x\text{Eu}^{2+}$ ($0 \leq x \leq 0.15$)的激发光谱均由基质吸收和激活离子吸收两部分组成;发射光谱仍然都是1个峰值在454 nm的宽带发射。如图5所示为 $\text{LaMgAl}_{11}\text{O}_{19}:0.10\text{Eu}^{2+}$ 的激发和发射光谱,由图5a可见,454 nm监控下其激发光谱由峰值在130 nm、158 nm、165 nm、264 nm和288 nm

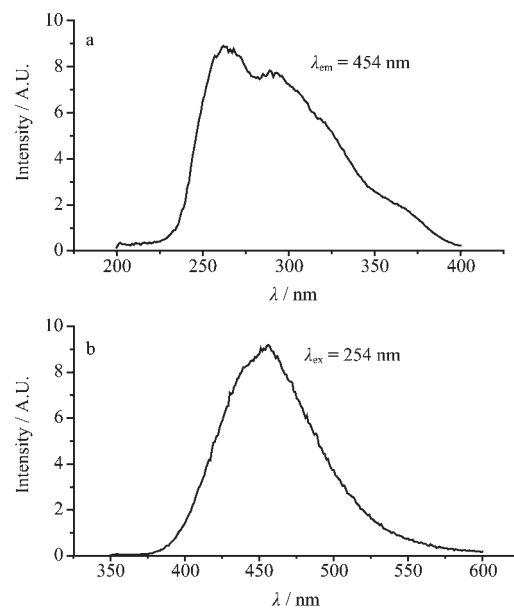


图4 $\text{La}_{0.90}\text{MgAl}_{11}\text{O}_{19}:0.10\text{Eu}^{2+}$ 的激发(a)和发射(b)光谱

Fig.4 (a) Excitation, (b) emission spectra of $\text{La}_{0.90}\text{MgAl}_{11}\text{O}_{19}:0.10\text{Eu}^{2+}$

nm的几个吸收峰组成,其中130 nm归属于晶体结构中尖晶石层的吸收,158 nm和165 nm归属于镜面层的吸收,264 nm和288 nm则属于 Eu^{2+} 的晶体场劈裂形成的2个f-d跃迁吸收^[6,7]。147 nm激发下 $\text{LaMgAl}_{11}\text{O}_{19}:\text{Eu}^{2+}$ 的发射光谱如图5b所示,其蓝色发光由峰值在454 nm宽带峰构成,归属于 Eu^{2+} 的d-f特征发射。

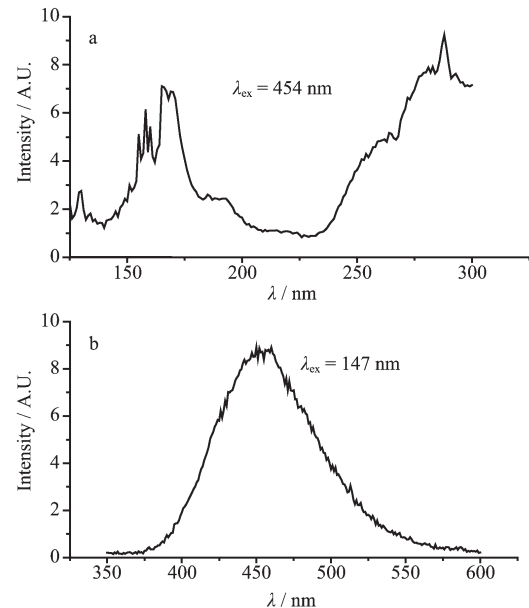


图5 $\text{La}_{0.90}\text{MgAl}_{11}\text{O}_{19}:0.10\text{Eu}^{2+}$ 的激发(a)和发射(b)光谱

Fig.5 (a) Excitation, (b) emission spectra of $\text{La}_{0.90}\text{MgAl}_{11}\text{O}_{19}:0.10\text{Eu}^{2+}$

254 nm 激发下 $\text{LaMgAl}_{11}\text{O}_{19}:\text{Eu}^{2+}$ 的发光强度与掺杂浓度的关系如图 6a 所示, 由图可见, Eu^{2+} 的掺杂浓度从 0.025~0.075 mol \cdot mol $^{-1}$ 的范围里其发射强度几乎没有变化, 当 Eu^{2+} 的浓度为 0.100 mol \cdot mol $^{-1}$ 时, 发射达到最强, 之后随 Eu^{2+} 的浓度的增加发射逐渐降低。147 nm 激发下 $\text{LaMgAl}_{11}\text{O}_{19}:\text{Eu}^{2+}$ 的发光强度表现出先上升后下降的趋势, 如图 6b 所示, 发光达到最强时 Eu^{2+} 的浓度也是 0.100 mol \cdot mol $^{-1}$ 。

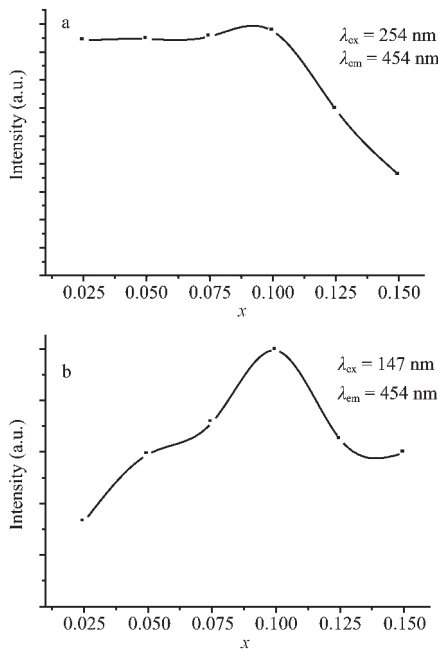


图 6 $\text{LaMgAl}_{11}\text{O}_{19}:\text{Eu}^{2+}$ 的发光强度与 Eu^{2+} 浓度关系

Fig.6 Relative emission intensity of $\text{LaMgAl}_{11}\text{O}_{19}:\text{Eu}^{2+}$ versus Eu^{2+} content

254 nm 激发下, $\text{LaMgAl}_{11}\text{O}_{19}:\text{Eu}^{3+}$ 的红色发光强度与基荧光粉比较差距较大^[8], 其色坐标值为: $x=0.601, y=0.394$; 254 nm/147 nm 激发下 $\text{LaMgAl}_{11}\text{O}_{19}:\text{Eu}^{2+}$ 的蓝色发光强度均超过及基荧光粉的 50%^[9], 其色坐标值为: $x=0.150, y=0.114$ 。

3 结 论

Eu^{3+} 和 Eu^{2+} 的掺入, 均取代晶体结构中镜面层的

La^{3+} 位置。

$\text{La}_{1-x}\text{MgAl}_{11}\text{O}_{19}:x\text{Eu}^{3+}$ ($0 \leq x \leq 0.15$) 在 254 nm 激发下发射光谱由主峰位于 610 nm 的一系列发射组成, 归属于 Eu^{3+} 的 $^5D_0 \rightarrow ^7F_J$ ($J=0, 1, 2, 3, 4$) 跃迁发光; 147 nm 激发下发光很弱。

254 nm/147 nm 激发下 $\text{La}_{1-x}\text{MgAl}_{11}\text{O}_{19}:x\text{Eu}^{2+}$ ($0 \leq x \leq 0.15$) 的发射光谱均由峰值在 454 nm 的蓝色宽带发射构成, 发光强度随着 Eu^{2+} 掺杂浓度的增加先上升后下降, 且均在 Eu^{2+} 的含量为 0.100 mol \cdot mol $^{-1}$ 时样品发光最强。

参考文献:

- [1] YOU Hong-Peng(尤洪鹏), WU Xue-Yan(吴雪艳), HONG Guang-Yan(洪广言), et al. *Xitu Xuebao(The Chinese Rare Earth Society)*, **2002**, *20*(6):572~574.
- [2] Versteegen J M P J, Sommerdijk J L. *Journal of Luminescence*, **1973**, *6*(5):425~431
- [3] LIU Chun-Xu(刘春旭), ZHANG Jia-Hua(张家骅), LU Shao-Zhe(吕少哲), et al. *Faguang Xuebao(Chinese Journal of Luminescence)*, 2004, *25*(2):193~196.
- [4] ZHOU Jian-Guo(周建国), ZHAO Feng-Ying(赵凤英), ZHAO Bao-Lin(赵宝林). *Faguang Xuebao(Chinese Journal of Luminescence)*, **2003**, *24*(3):239~242
- [5] Deng Chaoyong, Zhuang Weidong, He Dawei, et al. *Physica B*, **2004**, *34*:470~476
- [6] Brandon Howe, Anthony L. Diaz. *Journal of Luminescence*, **2004**, *109*(1):51~59
- [7] SU Qiang(苏 镛), LIANG Hong-Bin(梁宏斌), TAO Ye(陶治), et al. *Xitu Xuebao(The Chinese Rare Earth Society)*, **2001**, *19*(6):481~486
- [8] HE Ling(何 玲), WANG Yu-Hua(王育华). *Gaodeng Xuexiao Huaxue Xuebao(Chemical Journal of Chinese Universities)*, **2004**, *25*(9):1585~1588
- [9] ZHANG Zhan-Hui(张占辉), WANG Yu-Hua(王育华), DU Yun-Kun(都云昆). *Gongneng Cailiao(Journal of Functional Materials)*, **2004**, *35*(5):627~629